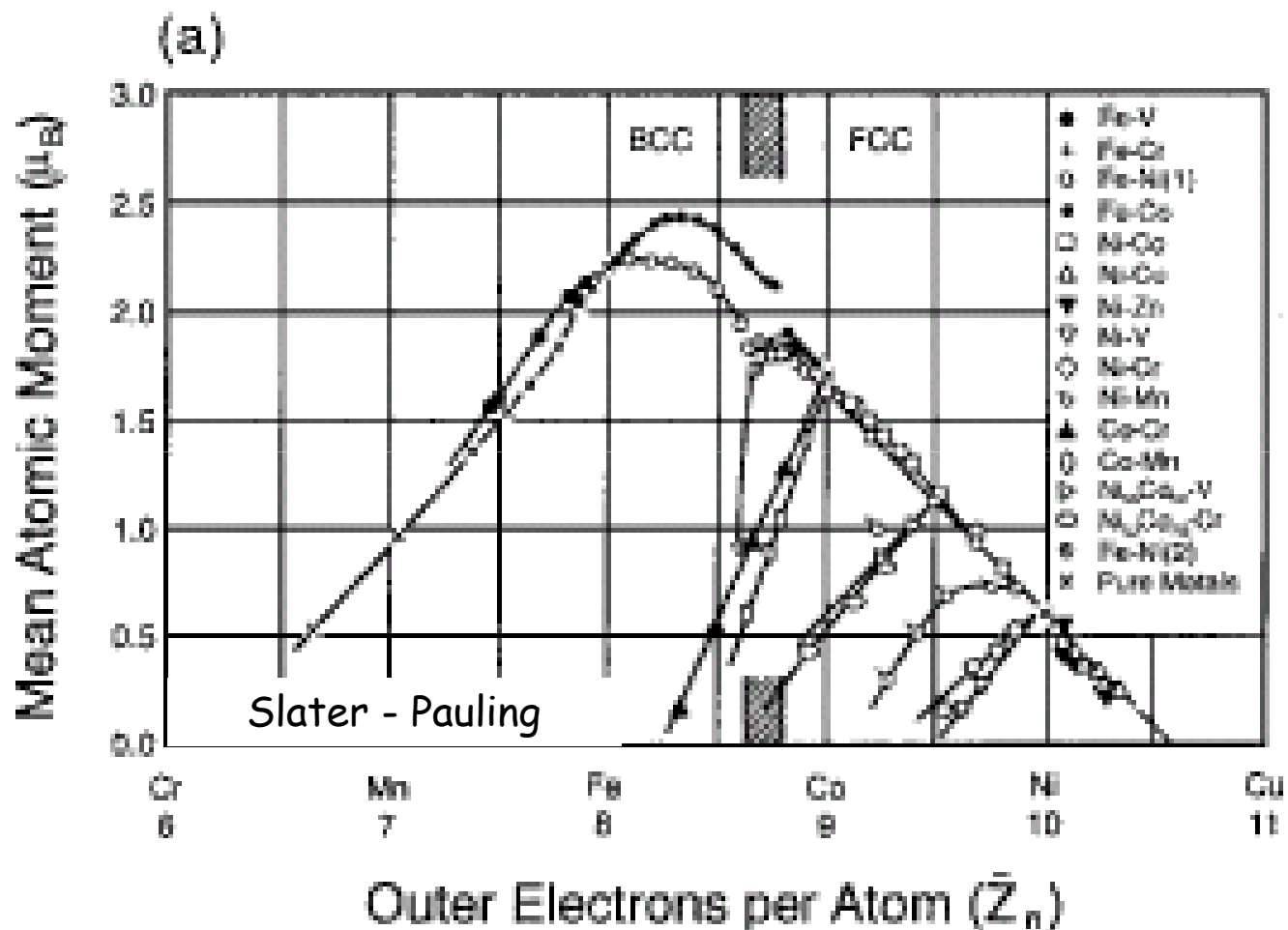


Intercambio en bandas

Intercambio

e^- itinerantes - metales



Intercambio

Desdoblamiento en energía de los niveles atómicos

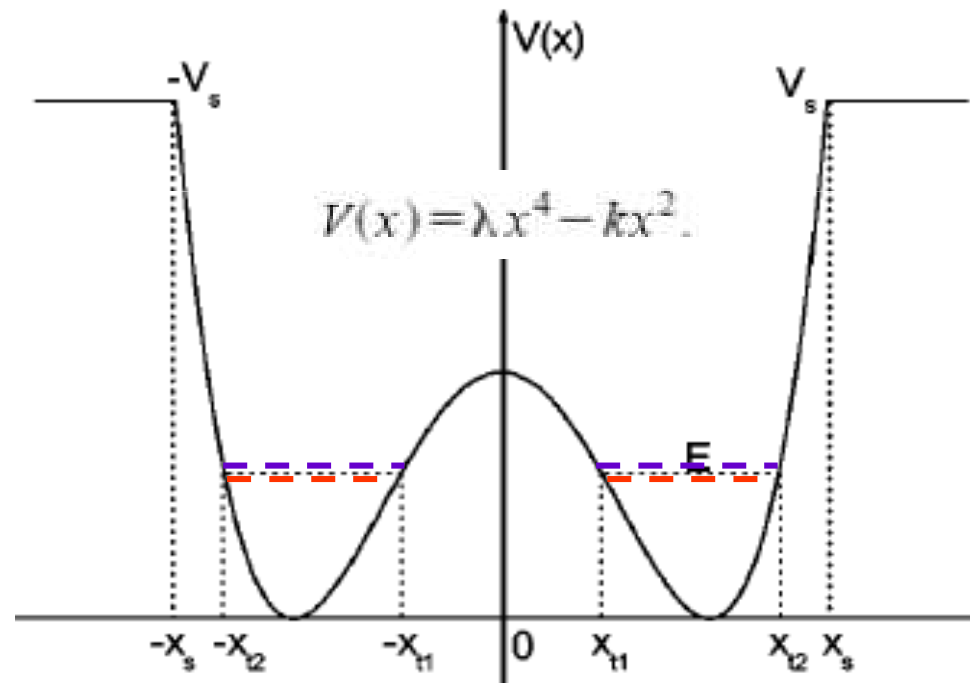
PHYSICAL REVIEW A 67, 062112 (2003)

Energy splitting in symmetric double-well potentials

Feng Zhou, Zhuangqi Cao, and Qishun Shen

Institute of Optics and Photonics, Shanghai Jiao Tong University, Shanghai 200230, China

(Received 24 January 2003; published 30 June 2003)

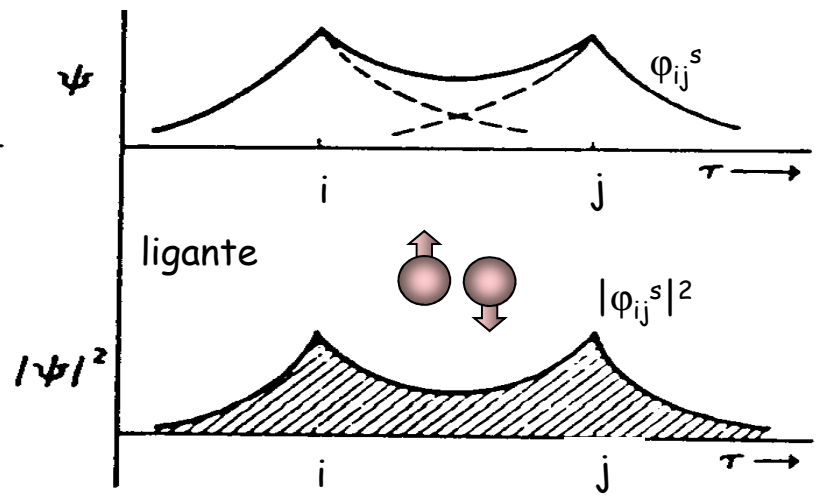
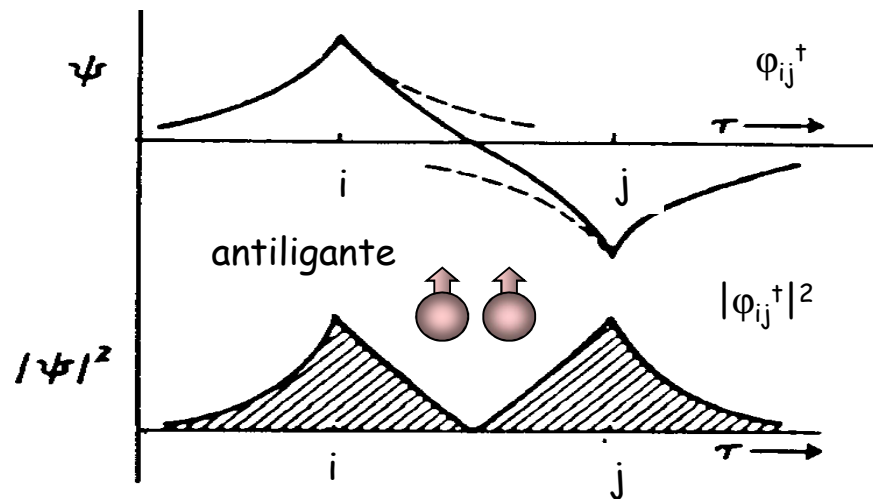
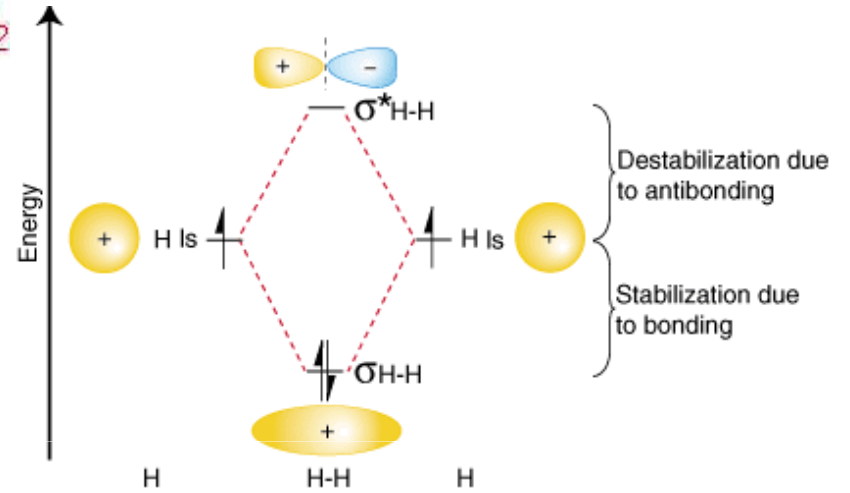
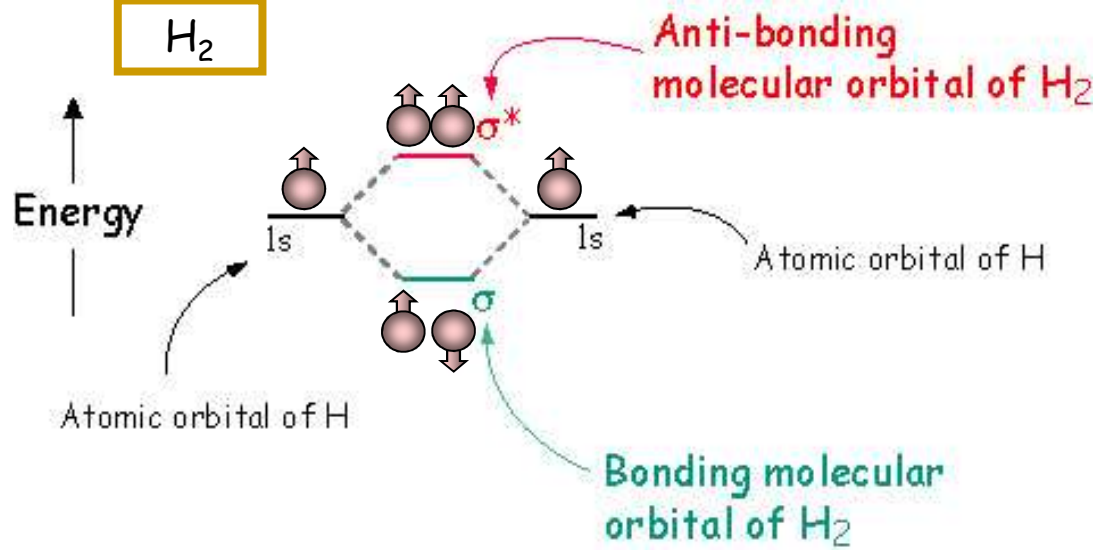


λ	Exact
0.02	<u>1.39352758504</u>
	<u>1.39352758715</u>
0.04	<u>1.37112223656</u>
	<u>1.37130846161</u>
0.10	<u>1.23450716279</u>
	<u>1.34694086892</u>
0.15	<u>1.06249924796</u>
	<u>1.42108689054</u>
0.20	<u>0.94175034208</u>
	<u>1.53553020408</u>

Intercambio y superintercambio

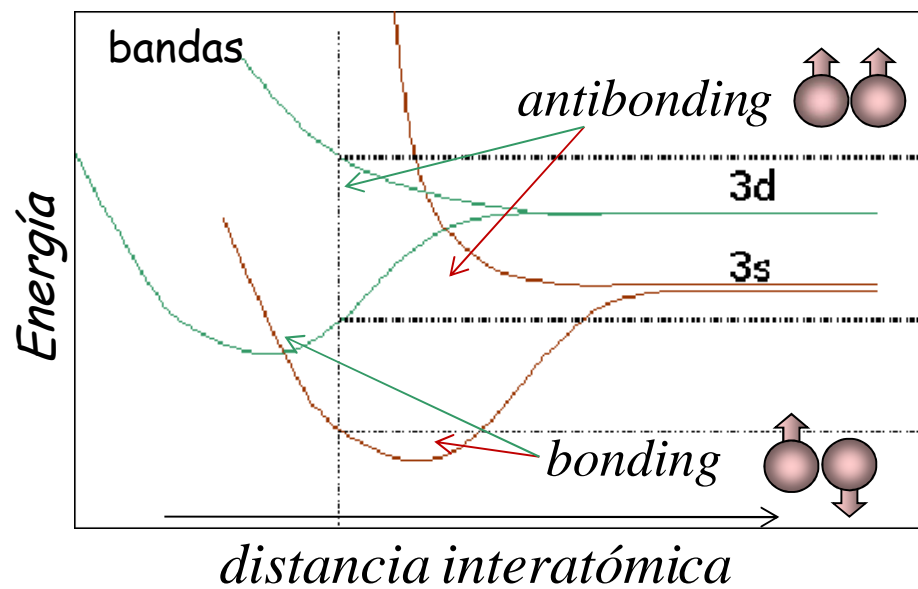
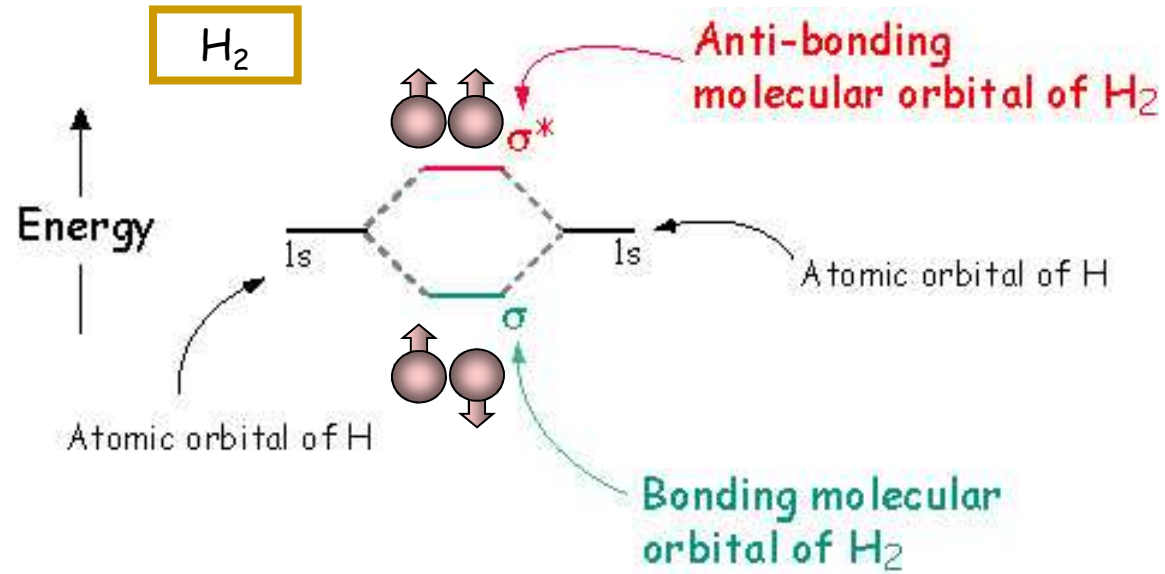
1 - moléculas y bandas

H_2

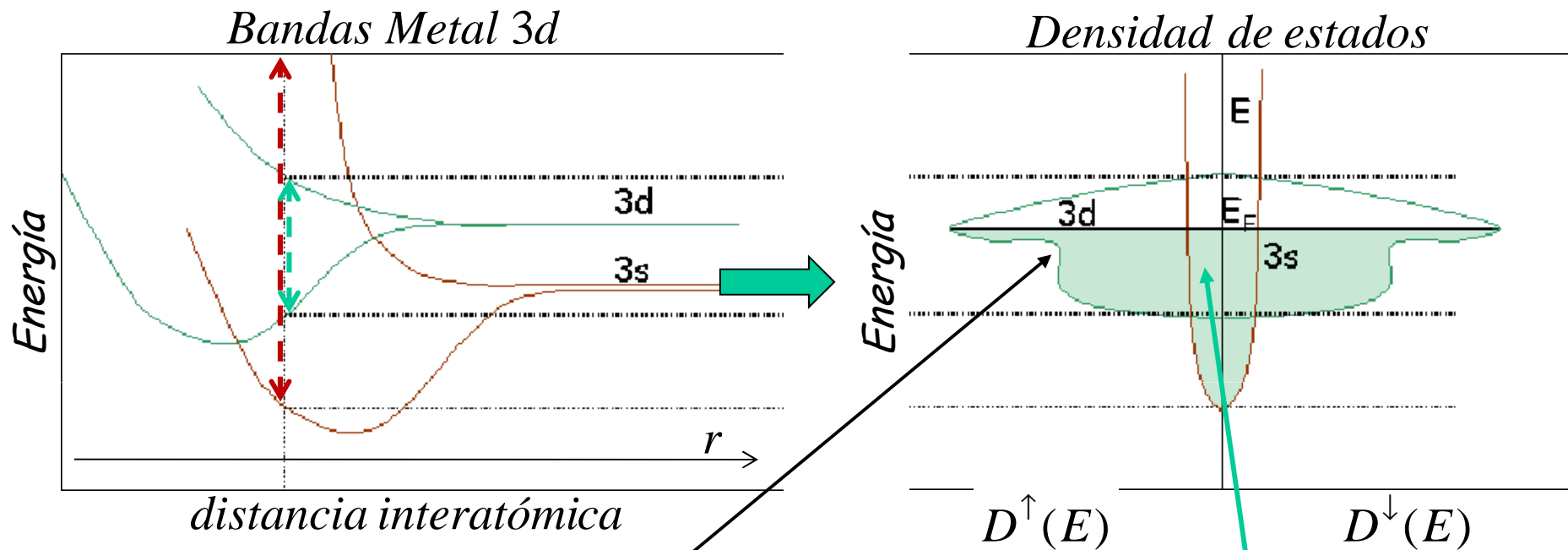


Intercambio y superintercambio

1 - moléculas y bandas



Interpretación de la curva de Slater - Pauling bandas



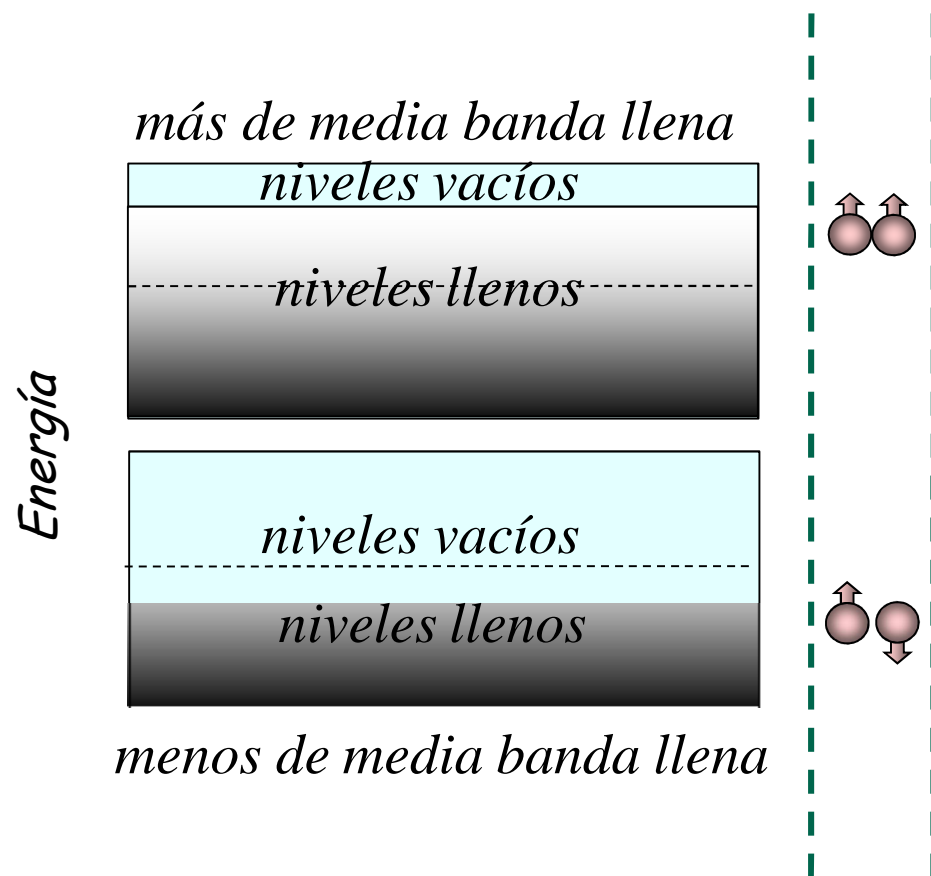
$$\frac{\int D_{3s}(\epsilon) d\epsilon}{\int D_{3d}(\epsilon) d\epsilon} = 2/10 = 0.2$$

$$\frac{\int_0^{\epsilon_F} D_{3s}(\epsilon) d\epsilon}{\int_0^{\epsilon_F} D_{3d}(\epsilon) d\epsilon} = n_s / n_d$$

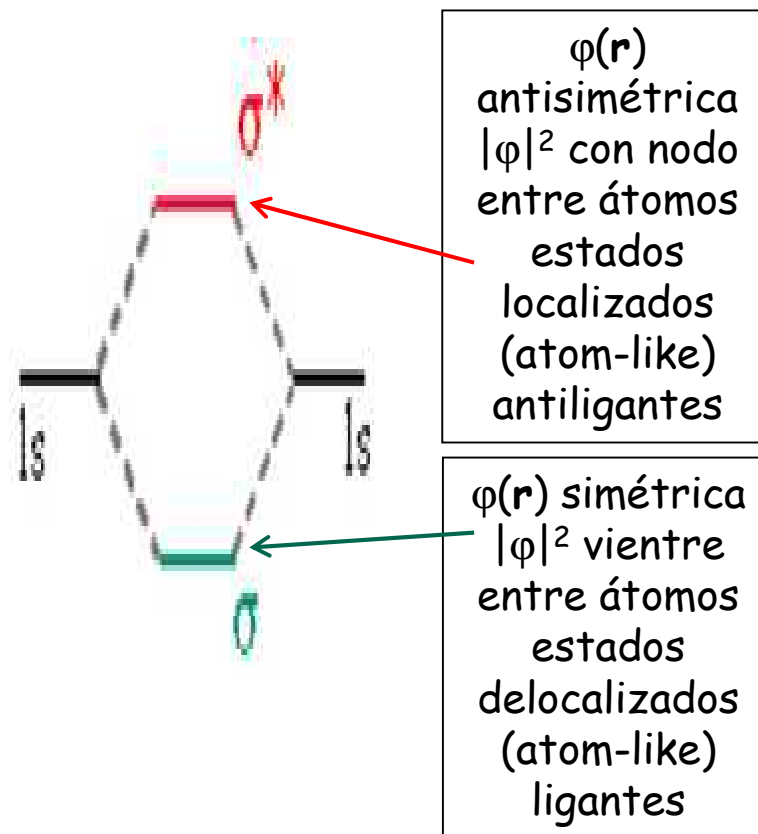
Interpretación de la curva de Slater - Pauling

1 - bandas y moléculas

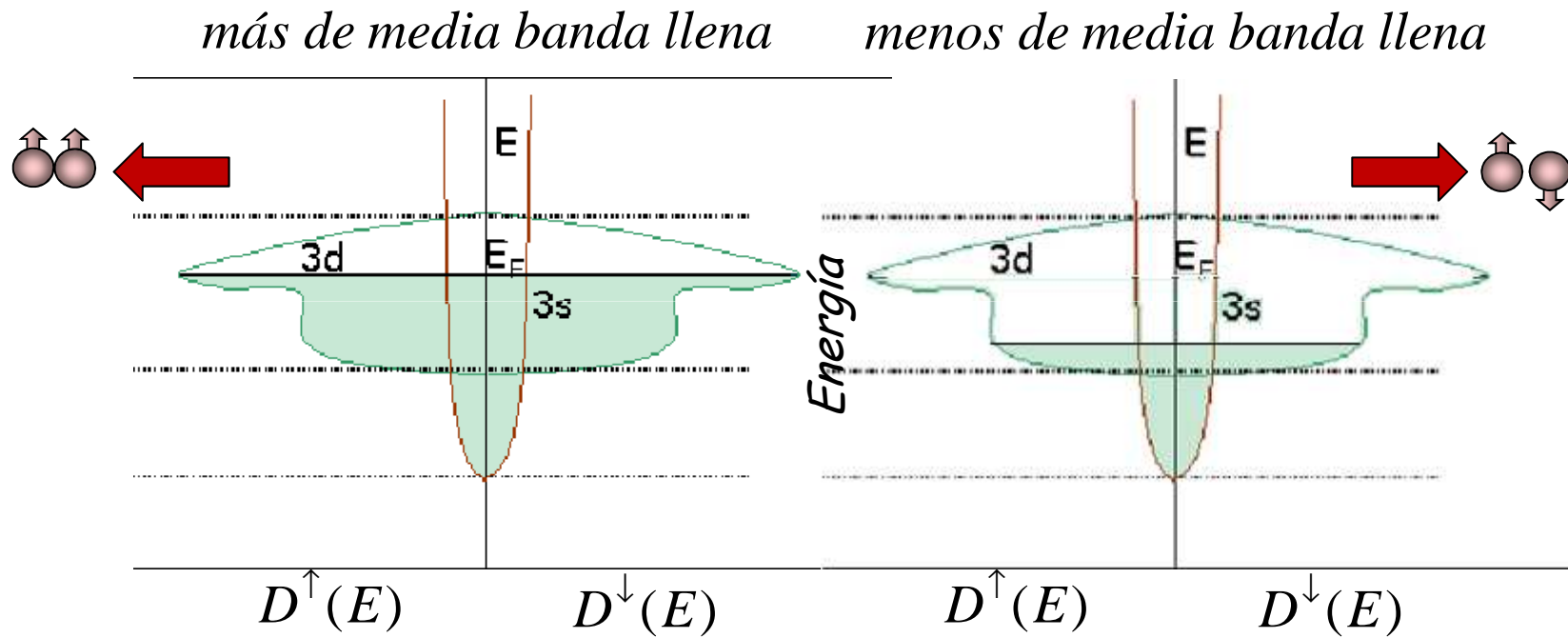
BANDA



MOLÉCULA



Interpretación de la curva de Slater - Pauling bandas



Interpretación de la curva de Slater - Pauling

2 - intercambio

Campo molecular de Weiss

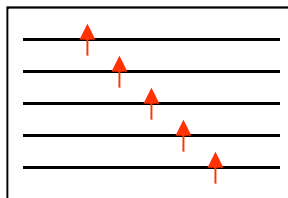


intercambio



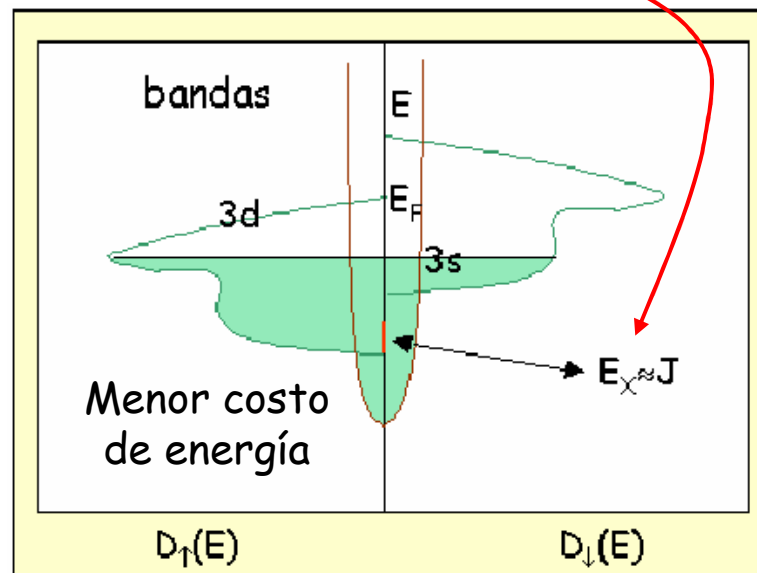
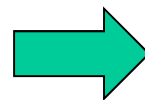
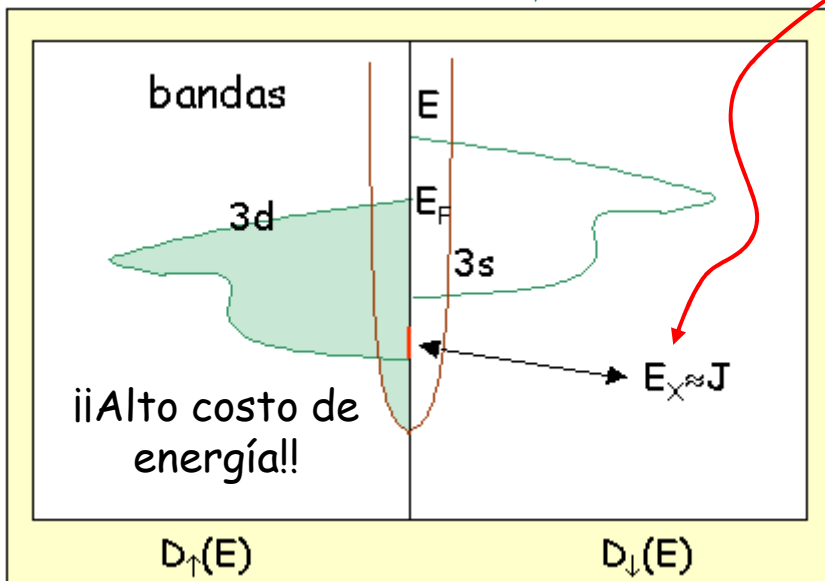
$$E_{ij} = K_{ij} \pm J_{ij}$$

Estados atómicos degenerados - reglas de Hund



Máximo S, mínima superposición orbital

¿puede aplicarse a bandas?



Interpretación de la curva de Slater - Pauling

¿Cuanto cuesta agregar Δn electrones a la banda \uparrow ?

$$D(\epsilon) = \frac{dn}{d\epsilon} \approx \frac{\Delta n}{\Delta \epsilon} \Rightarrow \Delta \epsilon = \frac{\Delta n}{D(\epsilon_F)}$$

Si hay intercambio toda la subbanda reduce su energía en J

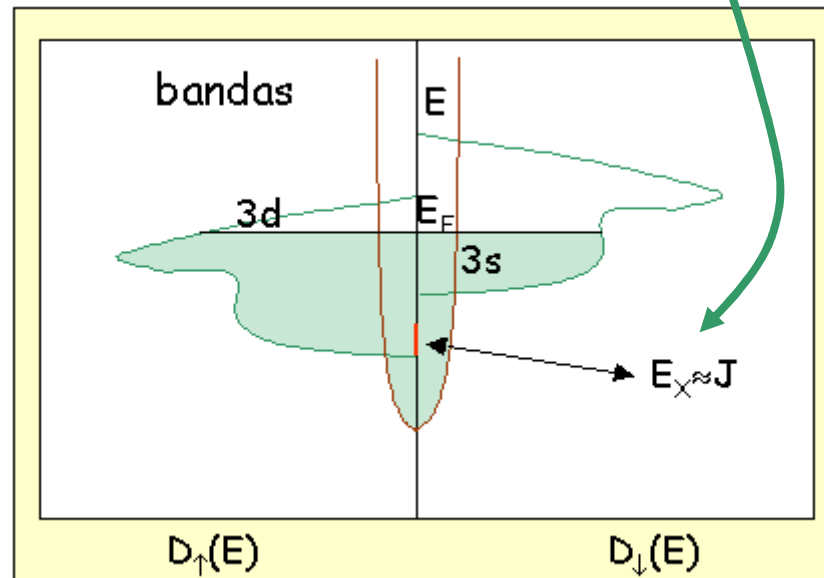
J debe ser suficiente para **compensar** $\Delta \epsilon$

$$\frac{J}{\Delta \epsilon} > 1 \Rightarrow \frac{JD(\epsilon_F)}{\Delta n} > 1 \xrightarrow{\Delta n \geq 1} JD(\epsilon_F) > 1$$

$$JD(\epsilon_F) > 1$$

$$J > 1/D(\epsilon_F)$$

Criterio de Stoner para la existencia de magnetismo en conductores

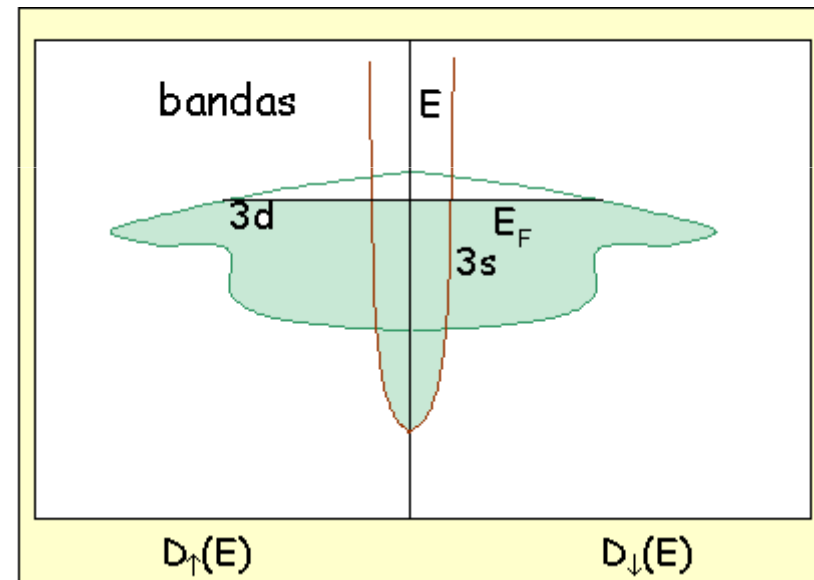
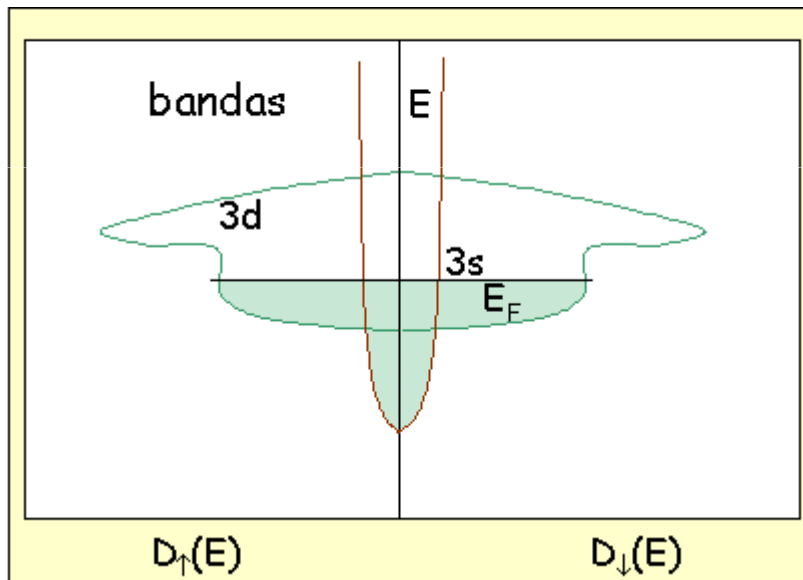


Interpretación de la curva de Slater - Pauling

3 - V, Cr, Mn vs. Fe, Co, Ni

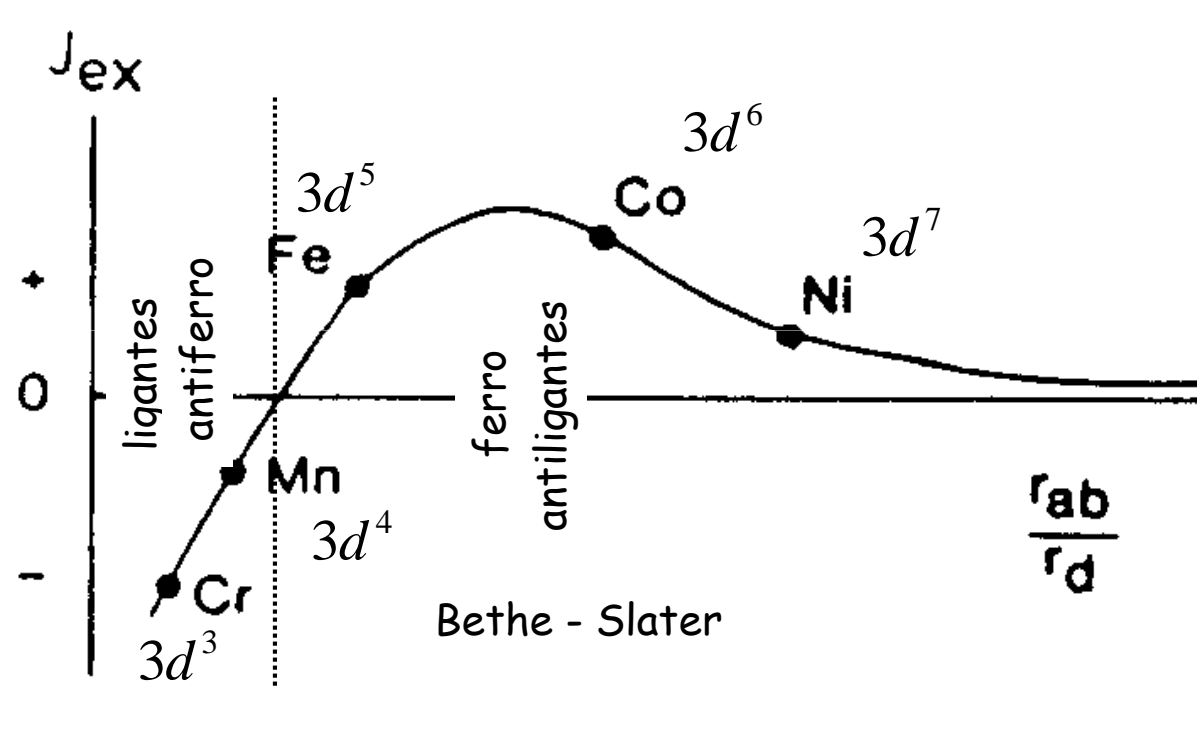
V, Cr, Mn
Menos de la mitad de la banda
3d llena
Estados ligantes
antiferromagnetismo

Fe, Co, Ni
Más de la mitad de la banda
3d llena
Estados antiligantes
ferromagnetismo



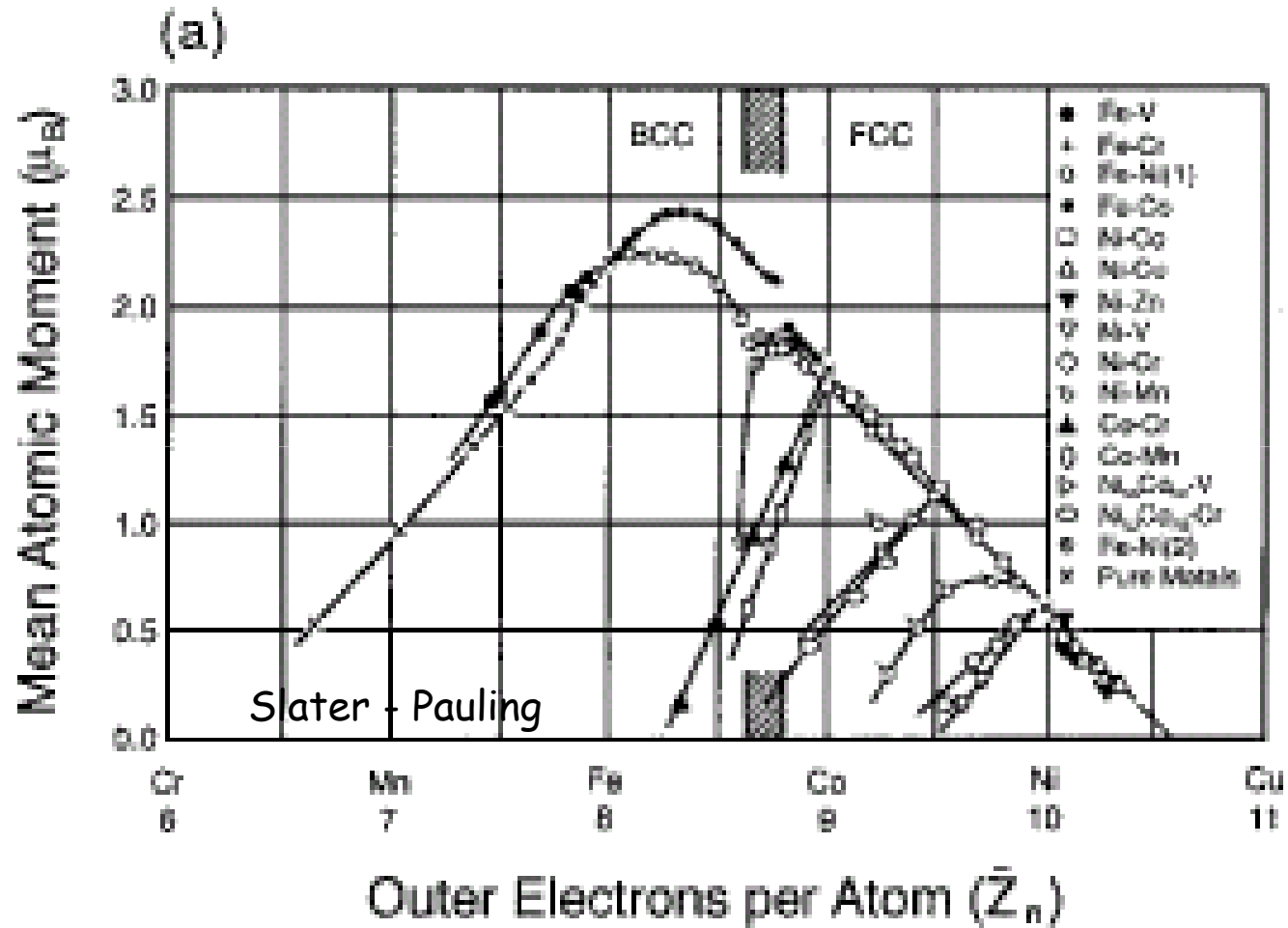
Covalencia → delocalización parcial de los electrones → disminución de $D(\epsilon)$
Creación de ligaduras → electrones apareados en arreglos antiferro
Reduce o imposibilita el magnetismo

curva de Bethe - Slater. Metales de transición

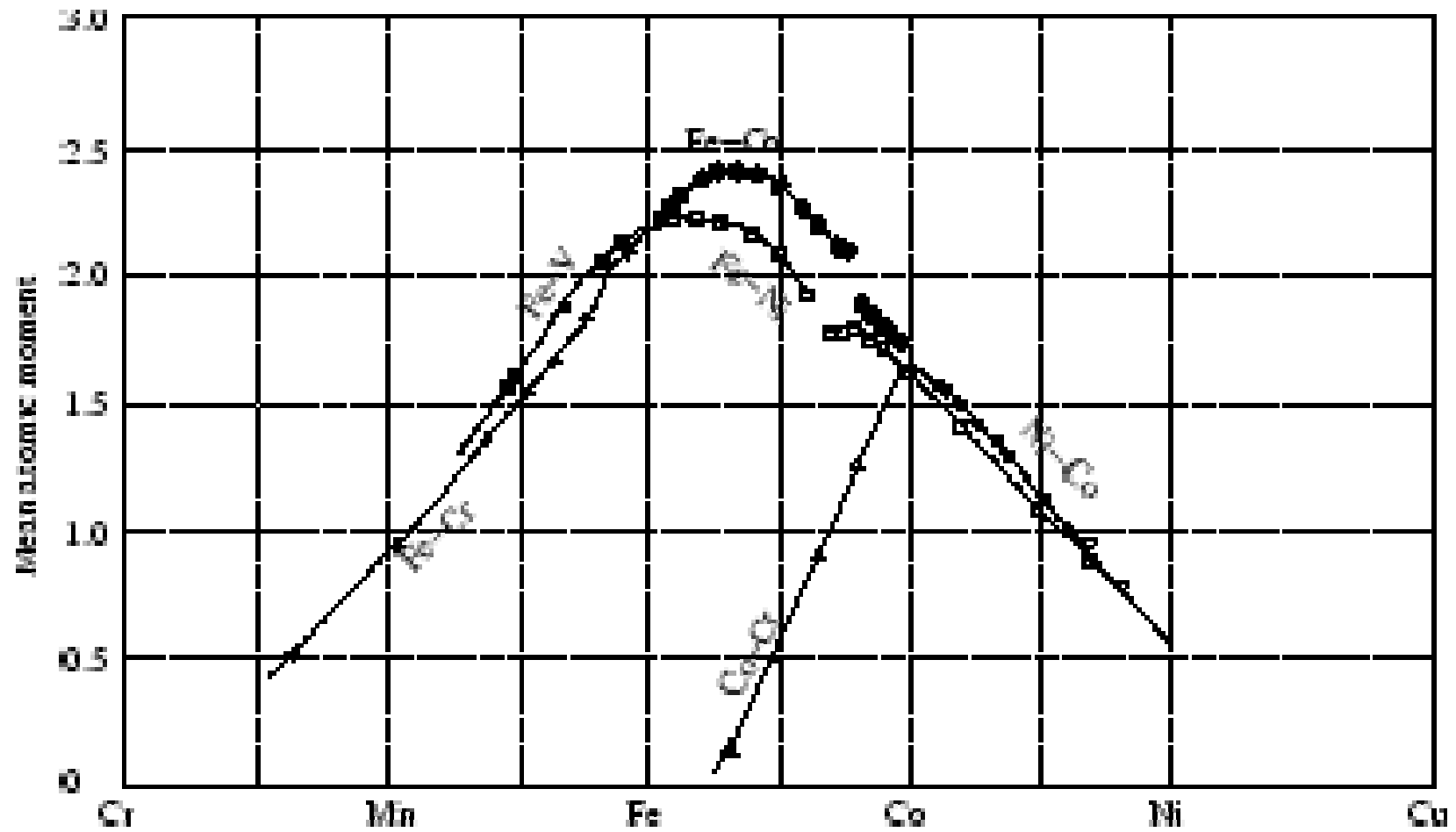


Modelo de bandas rígid

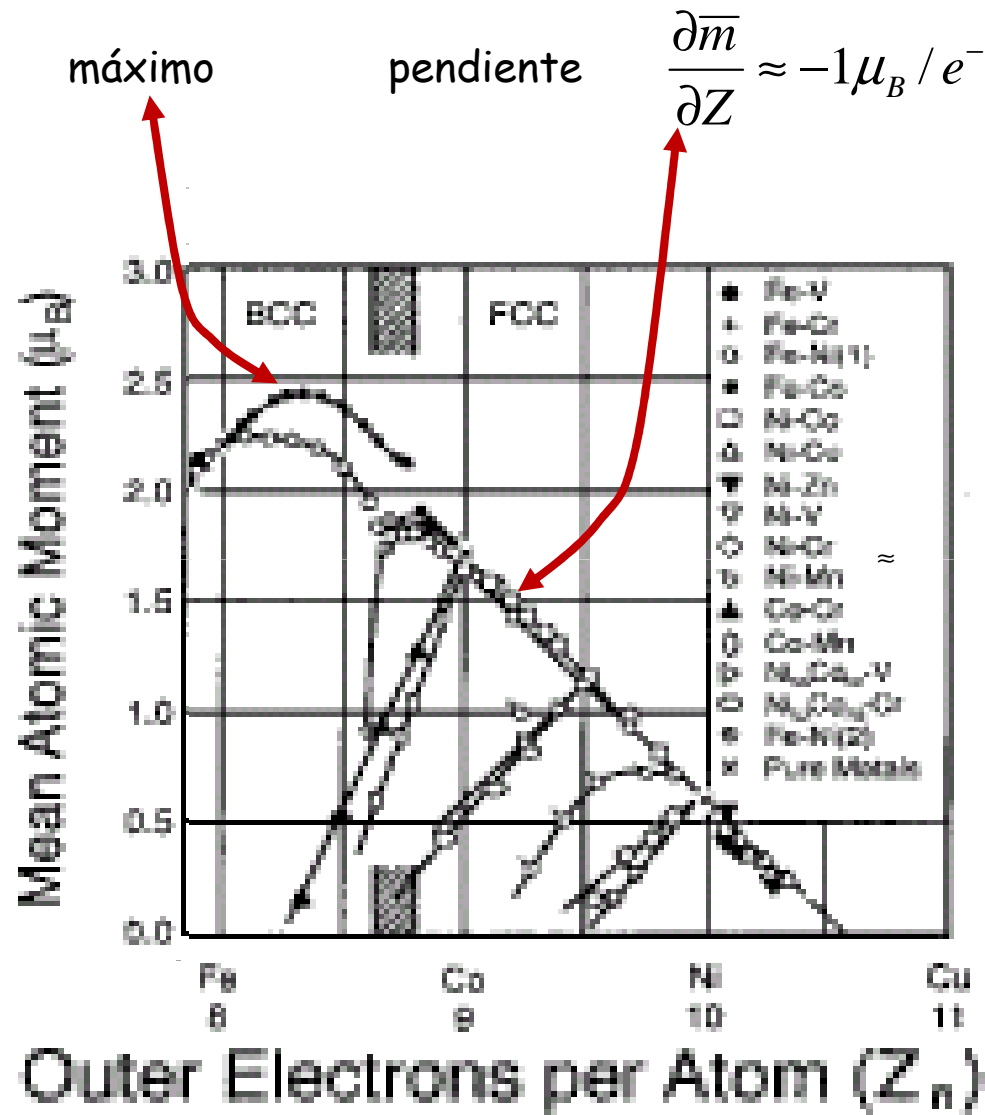
Interpretación de la curva de Slater - Pauling



Interpretación de la curva de Slater - Pauling



Interpretación de la curva de Slater - Pauling. Modelo de bandas rígidas



Fe

8 electrones externos

$$n_{e^- \text{ ext}}(MT_{3d}) = n_s + n_d = 8$$

Medidas de transporte

$$n_s(Fe) = n_s^\uparrow + n_s^\downarrow \approx 1$$

$$n_d(Fe) = n_d^\uparrow + n_d^\downarrow \approx 7$$

Fe

$$n_s(Fe) = n_s^\uparrow + n_s^\downarrow \approx 1$$

$$n_d(Fe) = n_d^\uparrow + n_d^\downarrow \approx 7$$

e^- s muy poco polarizados

$$n_s^\uparrow \approx n_s^\downarrow \approx 0.5$$

Medidas magnéticas $m_{Fe} = 2.2\mu_B$

$$n_d^\uparrow - n_d^\downarrow \approx 2.2$$

$$n_d^\uparrow(Fe) \approx 4.6; n_d^\downarrow(Fe) \approx 2.4$$

Ni

10 electrones externos

$$n_{e^{-}ext}(MT_{3d}) = n_s + n_d = 10$$

Medidas de transporte



$$n_s(Ni) = n_s^{\uparrow} + n_s^{\downarrow} \approx 0.6$$



$$n_d(Ni) = n_d^{\uparrow} + n_d^{\downarrow} \approx 9.4$$

Ni

$$n_s(Ni) = n_s^\uparrow + n_s^\downarrow \approx 0.6$$

$$n_d(Ni) = n_d^\uparrow + n_d^\downarrow \approx 9.4$$

e^- s muy poco polarizados

$$n_s^\uparrow \approx n_s^\downarrow \approx 0.3$$

Medidas magnéticas $m_{Ni} = 0.6\mu_B$

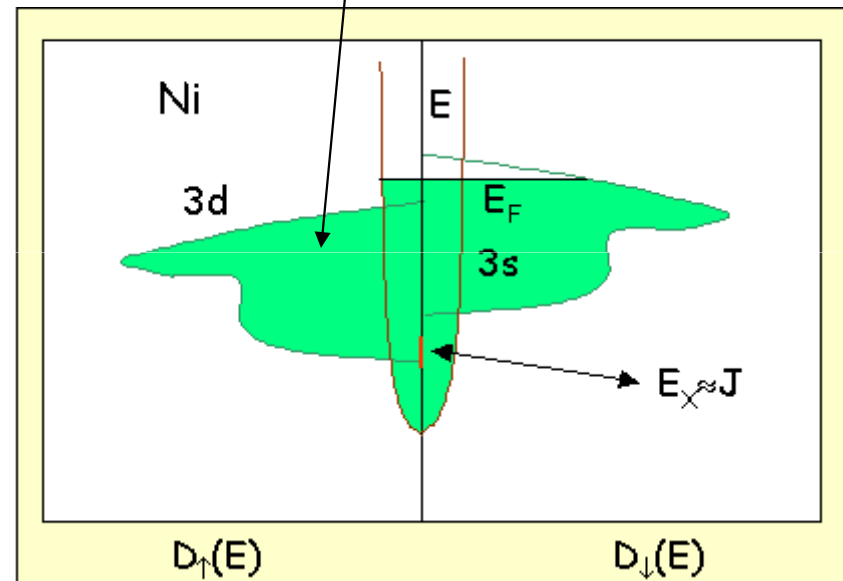
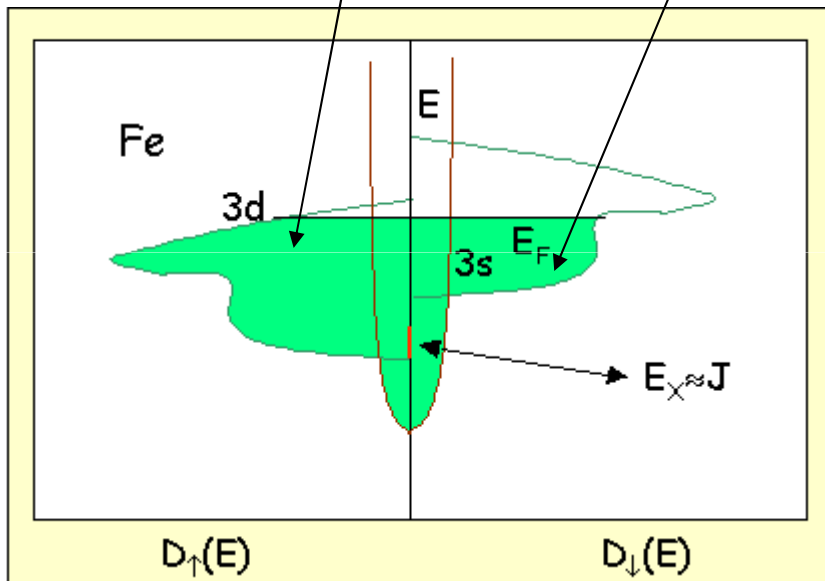
$$n_d^\uparrow - n_d^\downarrow \approx 0.6$$

$$n_d^\uparrow(Ni) \approx 5.0; n_d^\downarrow(Ni) \approx 4.4$$

Sub-banda \uparrow llena

$$n_d^\uparrow(Fe) \approx 4.6; n_d^\downarrow(Fe) \approx 2.4$$

$$n_d^\uparrow(Ni) \approx 5.0; n_d^\downarrow(Ni) \approx 4.4$$

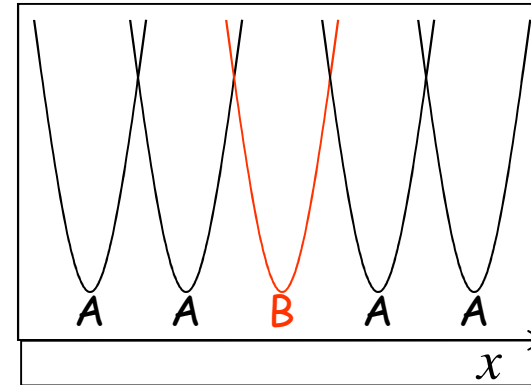


Sub-banda $3d^\uparrow$ semillena

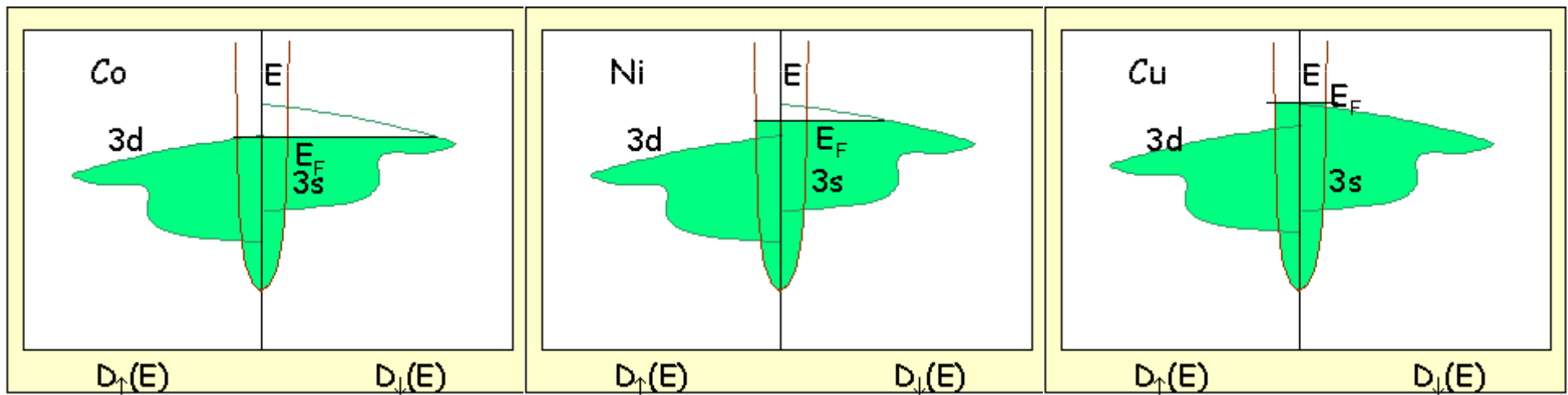
Sub-banda $3d^\uparrow$ llena

hipótesis del modelo - aleaciones $A_{1-x}B_x$

B perturba poco el potencial periódico



Co \rightarrow Cu sub-banda \uparrow llena, $n_{d\uparrow} = 5$



$$m_{Co} = 1.7\mu_B$$

$$m_{Ni} = 0.6\mu_B$$

$$m_{Cu} = 0\mu_B$$

$$m_{MT} = (n_d^\uparrow - n_d^\downarrow)\mu_B = (5 - n_d^\downarrow)\mu_B = (10 - n_d)\mu_B$$

$$n_d^\downarrow = n_d - 5$$

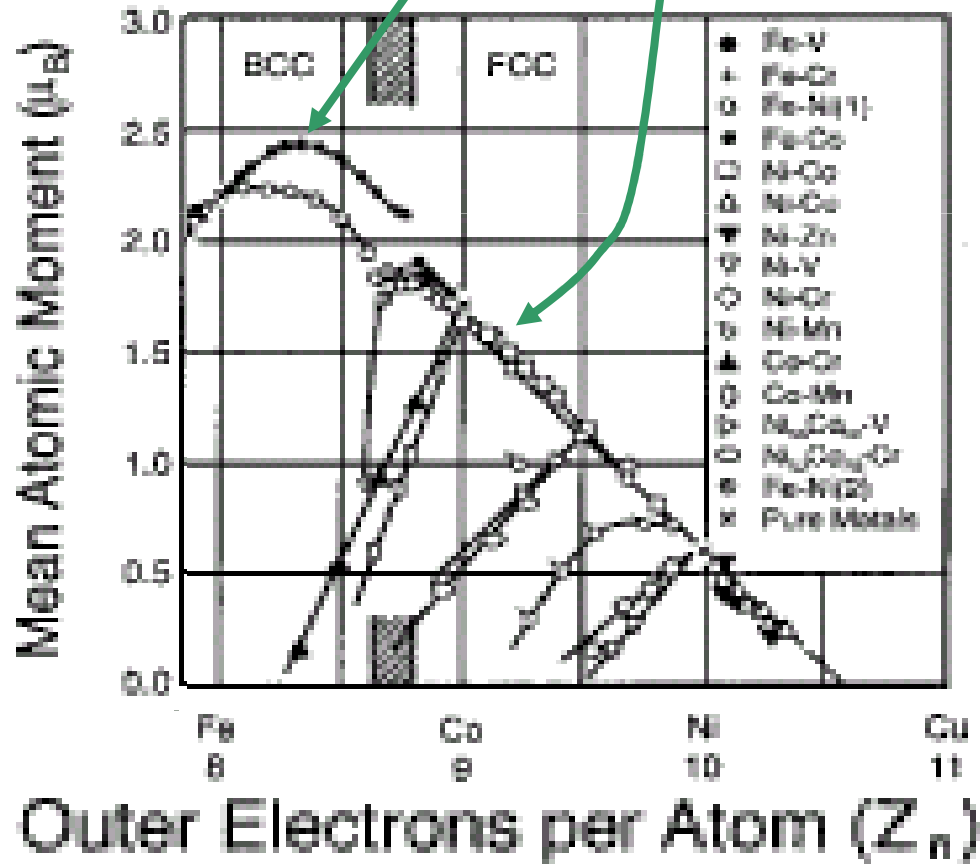
Si $n_d = 7.5$:

Momento medio

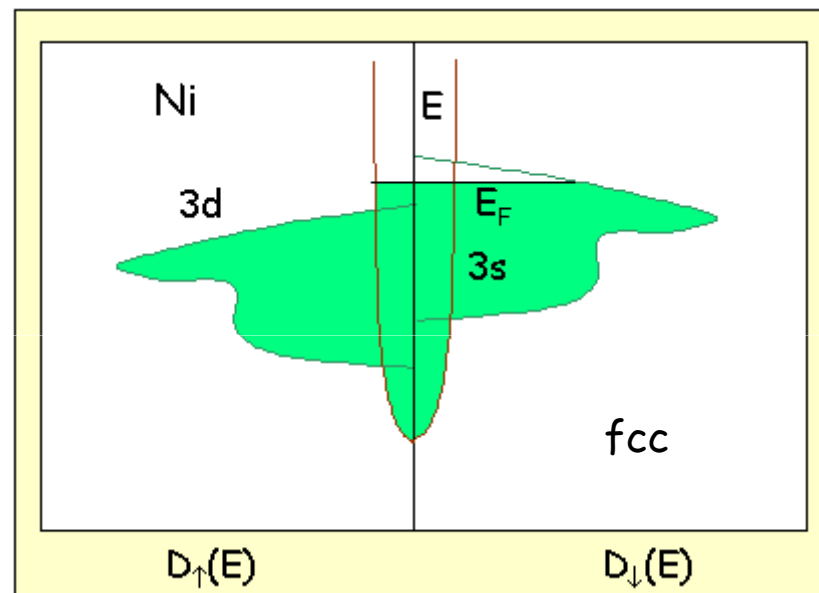
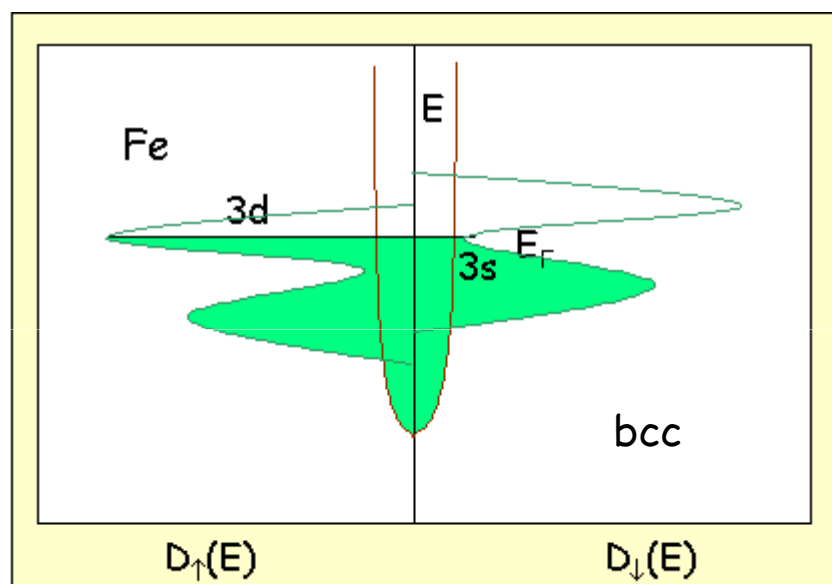
$$\bar{m}_{Fe_{0.5}Co_{0.5}} = (10 - n_d)\mu_B = 2.5\mu_B$$

pendiente

$$\frac{\partial \bar{m}}{\partial Z} = \frac{\partial \bar{m}}{\partial n_d} = -1\mu_B / e^-$$



Influencia de la estructura



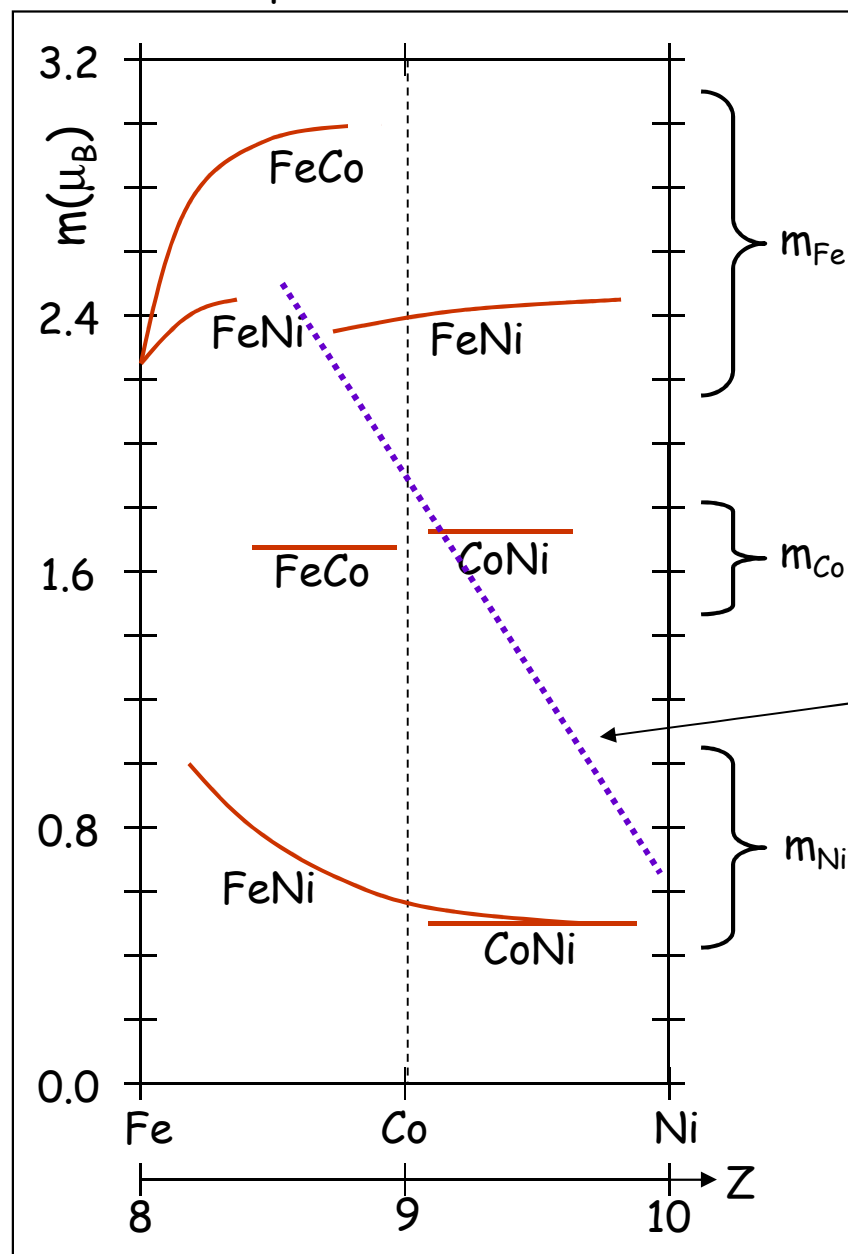
V Cr Mn Fe

Co Ni Cu

Z

Momentos medios
vs, momentos
locales

Dispersión de neutrones



Momentos locales en
sitios de Fe, Co y Ni de
aleaciones FeCo, FeNi y
CoNi

Momentos medios

Collins y Forsyth, Phil.
Mag. 8, 401 (1963)